

Avaliação de uma proposta para uma DHT evolutiva prática

James Furtado, Pedro Á. Costa, and João Leitão

NOVALINCS & NOVA University of Lisbon
jh.furtado@campus.fct.unl.pt, pah.costa@campus.fct.unl.pt,
jc.leitao@fct.unl.pt

Resumo Os sistemas Peer-to-Peer (P2P) são uma alternativa cada vez mais atraente para suportar sistemas na Internet. O movimento web3 tem contribuído para o aparecimento de uma ampla variedade destes sistemas. Um desafio frequentemente enfrentado por esses sistemas, especialmente em larga escala, é lidar com a evolução dos protocolos que suportam o sistema, em particular alterações significativas (i.e, atualizações que tornam o sistema incompatível com versões anteriores, em inglês commumente referido como *breaking changes*). Este desafio deriva de cada nó num sistema P2P ser tipicamente operado por entidades diferentes, o que torna impossível a atualização sincronizada de todos os processos. Dados obtidos do *nébula crawler* relativo ao sistema IPFS – um sistema P2P de larga escala – mostra uma enorme diversidade de versões em execução no sistema.

No caso particular do IPFS, esta situação tem sido evitada através da co-existência de várias versões de protocolos, no entanto, brevemente prevê-se que se torne inevitável a introdução de uma alteração significativa sob o modo de operação da sua *Distributed Hash Table* (DHT), o mecanismo primário que permite e facilita a interação descentralizada entre nós do IPFS. Com o objetivo de minimizar o impacto de futuras alterações significativas na DHT do IPFS, foi feita uma proposta, por investigadores da ProtocolLabs, para alterar o design desta de forma a permitir a interoperabilidade entre versões distintas que, de outra forma, seriam incompatíveis. Este artigo apresenta uma análise inicial conduzida através do uso de um protótipo e de um significativo trabalho experimental. Os nossos resultados mostram que a proposta realizada é promissora, e poderá minimizar de forma significativa as anomalias causadas por futuras evolução da DHT.

Keywords: IPFS · DHT · Sistemas P2P · Mudanças bruscas.

1 Introdução

Durante a vida útil de um sistema informático, em particular de sistemas distribuídos de grande escala, estes passam por varias atualizações com diversas finalidades como a correção de erros (i.e., *bugs*), melhorias de segurança e alterações ou adição de novas funcionalidades. Estas atualizações podem conter

mudanças significativas (i.e., em inglês *breaking changes*) que fazem com que partes do sistema se tornem incompatíveis com versões anteriores do mesmo.

Este tipo de mudanças, são geralmente extremamente complexas de se lidar em sistemas *Peer-to-Peer* (P2P) de larga escala visto que no pior cenário, essas mudanças podem levar a uma partição permanente na rede P2P em dois segmentos distintos devido à transição lenta por parte dos utilizadores para novas versões do sistema. Mesmo no melhor cenário, será necessário manter um mecanismo de retro-compatibilidade por períodos indeterminados, o que limita a evolução do software, tipicamente carrega penalizações não desprezáveis ao desempenho destes sistemas, e limita de forma severa a introdução de novas funcionalidades ou melhorias significativas no sistema.

O *Inter-Planetary File System* (IPFS) [2], que é um sistema de ficheiros distribuídos P2P cada vez mais popular e um dos pilares da Web3 [4], é atualmente utilizado por centenas de milhares de utilizadores, tendo regularmente mais de 20000 nós ativos na rede a operar como servidor [10]. Devido a preocupações crescentes de privacidade, este sistema têm prevista uma evolução na sua arquitetura que vai resultar numa *breaking change* da sua *Distributed Hash Table* (DHT), que é o mecanismo primário que permite e facilita a interação descentralizada entre nós do IPFS.

A fim de mitigar as repercussões de futuras *breaking changes* na DHT, os engenheiros e investigadores da **Protocol Labs**¹ propuseram [7] um novo *design* para a DHT do IPFS (que até o final do artigo iremos referir como *Upgradable DHT*). Apesar desta solução ter o potencial para permitir que no futuro novas funcionalidades possam ser adicionadas à DHT, e que nós em diferentes versões (e consequentemente com diferentes funcionalidades disponíveis) possam co-existir na rede recorrendo a um conjunto de funcionalidades fundamentais definida na proposta referida acima, é pouco claro quais as implicações deste mecanismo.

Este artigo vem demonstrar a viabilidade da solução proposta pelos engenheiros e investigadores da ProtocolLabs e estudar o impacto que esta poderá vir a ter, face a versão atual do IPFS através da condução de uma avaliação experimental dessa proposta. Para tal, foi desenvolvido um protótipo da Upgradable DHT e usou-se como exemplo de *breaking change* o protótipo desenvolvido pela **Chain Safe** [9] (adaptadas a Upgradable DHT) do novo mecanismo de privacidade que será implementado na DHT do IPFS.

O resto deste artigo está organizado da seguinte forma. A secção 2 apresenta um conjunto de informação relevante a compreensão do trabalho apresentado neste artigo relativo ao funcionamento da IPFS e da sua DHT. A secção 3 apresenta a proposta da Upgradable DHT e as decisões de design que tivemos que tomar poder implementá-la. A secção 4 discute a implementação do nosso protótipo. A secção 5 discute o nosso trabalho experimental, incluindo o setup experimental e os resultados obtidos. Finalmente a secção 6 concluí o artigo.

¹ A empresa que desenvolve e mantém o IPFS.

2 Preliminares

Nesta seção, vamos apresentar: uma breve introdução ao IPFS (§ 2.1), a sua DHT (§ 2.2), a *breaking change* que esta vai sofrer e a sua motivação (§ 2.3).

2.1 IPFS

O IPFS é um sistema de ficheiros distribuídos *Peer-to-Peer* (P2P), onde cada ficheiro é identificado por um *hash* criptográfico do seu conteúdo, denominado por *Content Identifier* (CID). Os ficheiros estão distribuídos por vários nós (computadores a correr uma instancia do IPFS) e a informação sobre que nó guarda que ficheiro é mantida numa estrutura de dados distribuída denominada de *Distributed Hash Table* (DHT).

Cada nó do IPFS possui um par de chaves pública/privada gerados por um algoritmo criptográfico assimétrico. Essas chaves são usadas para identificar e autenticar operações feitas pelo nó. O *hash* da chave publica do nó é o identificador único do nó no IPFS, e este é denominado por *Peer Identifier* (PID).

Quando um nó do IPFS quer publicar um ficheiro no IPFS, este calcula o CID do ficheiro e usa a DHT para anunciar na rede o IPFS que ele tem um cópia do ficheiro identificado pelo respetivo CID. Para se obter um ficheiro a partir do IPFS, é necessário conhecer o seu CID e usar a DHT para obter a informação sobre que nós tem uma copia do ficheiro. Depois o IPFS usa um outro protocolo chamado *BitSwap* [8] para obter o ficheiro a partir desses nós.

2.2 DHT

A DHT é uma extensão das tabelas de dispersão convencionais para um ambiente distribuído. Onde a informação dos pares $\langle \text{chave}, \text{valor} \rangle$ e estão distribuídos e replicados em vários dispositivos. A DHT usada pelo IPFS é uma variante da *Kademlia* [6], que incorpora ideias do *S/Kademlia* [1] por questões de segurança e do *Coral DSHT* [3] - onde uma chave pode estar associada a mais de um valor.

Para poder entender como a DHT do IPFS funciona, iremos indicar os passos que se tem que dar para adicionar e pesquisar conteúdo na DHT. No contexto do IPFS a chave é o CID do ficheiro, e o valor é um registo assinado com chave privada de um determinado nó que declara que este nó contém uma cópia do ficheiro identificado pelo CID, que também estará presente no registo. Este registo chama-se *Provider-Record* (PR). Logo as entradas da DHT do IPFS são pares $\langle \text{CID}, \text{PR} \rangle$.

Para adicionar uma entrada na DHT do IPFS, um nó deve encontrar K (tipicamente 20) nós tal que o $\mathbf{XOR}(\text{PID}_i, \text{CID})$ tenham o menor valor possível, isto é, os K nós cujo identificador está mais próximo do CID. Para obter o valor de uma entrada da DHT do IPFS, um nó recorre aos restantes nós para identificar aqueles que têm um PID mais próximo do CID pesquisado, e verifica se estes tem o PR desse CID. Se estes não tiverem, eles vão responder com os K nós mais pertos do CID que eles conhecem permitindo ao nó continuar a sua pesquisa.

Para que estas operações sejam eficientes cada nó da DHT mantém uma *Routing Table* composta por *K-buckets* que guardam informações sobre outros nós que fazem parte da DHT. Os detalhes do funcionamento da routing table são relevantes para o nosso trabalho e são discutidos na secção 4.

Como indicado antes, a DHT do IPFS permite com que mais de um valor esteja associado a uma chave. Isto significa que um nó responsável por guardar informação de um CID guarda todos os PRs associados a esse CID. A operação de pesquisa sobre um nó da DHT pode retornar apenas um subconjunto (eventualmente unitário) dos PRs conhecidos para um CID.

2.3 Double Hashing

Quando um nó IPFS consulta a DHT para obter os *Provider Records* (PR) de um determinado CID, este nó obtém essa informação de outros nós. No entanto, ao fazer isso, revela a vários participantes o CID que está a procura. Estes nós por sua vez podem fazer a mesma pesquisa na DHT e determinar que o conteúdo do ficheiro que o nó inicial estava a tentar aceder.

Isto implica que a privacidade de utilizadores do IPFS pode ser trivialmente comprometida. Embora os IDs dos nós IPFS sejam opacos e não estejam diretamente associados às identidades dos utilizadores, é possível, através de vários métodos conhecidos, extrair essas informações (por exemplo os IPs são expostos e registos públicos podem permitir identificar um utilizador).

Para mitigar este problema, o IPFS vai implementar um mecanismo denominado *Double-Hashing* [5] que muda o que é guardado na DHT e como se extrai informação desta. Em vez de se guardar pares $\langle CID, PR \rangle$ na DHT, vão ser guardados pares $\langle Hash(CID), PR_{CID} \rangle$. Ou seja o *hash* do CID (que já é um *hash* e o *Provider-Record* cifrado com o CID da entrada).

O nó que quer obter *Provider-Records* de um ficheiro (para poder descarregá-lo), tem de saber o CID do ficheiro em que está interessado. Depois este vai calcular o *hash* do CID, escolher um prefixo do *hash* que calculou e repetir o mesmo processo que se fazia com o CID mas com o prefixo de $hash(CID)$. A única diferença é que os nós contactados devem responder, não com uma entrada específica ou com K nós mais perto, mas com todas as entradas cuja a chave tenha um prefixo igual ao solicitado e com os K nós que estes conhecem que estejam mais próximos desse prefixo. Desta forma todos os nós deixam de conhecer o CID pesquisado pelo nó inicial, e ainda que apenas entrada exista pare esse prefixo, o nó que armazena essa entrada não consegue ver os conteúdos do *Provider-Record* pois o CID não foi exposto. Na nossa implementação, baseada na da **SafeChain**, os prefixos têm um tamanho constante de 64 bits.

3 Upgradable DHT

A ideia principal do *Upgradable DHT* (também denominada de *Composable DHT*) proposta pelos engenheiros e investigadores da Protocol Labs [7] é ter uma

DHT que suporta controlo de versões e que consiga oferecer inter-operabilidade entre versões diferentes da DHT.

Para tal foi proposta a noção de *funcionalidade*, que basicamente representa uma funcionalidade suportada por uma versão da DHT. Todos os nós partilham a lista de funcionalidades que suportam entre si e com base nesta os nós conseguem saber se podem realizar uma determinada operação num nó específico da DHT. A proposta também propõem o uso de uma função que será usada para determinar o quão semelhante/relevante a lista de funcionalidade de um nó é comparado com a de outro. Os nós devem preferir ter nos seus *K-buckets*, nós cuja lista de funcionalidade maximize a compatibilidade com as suas funcionalidades suportadas e que dê preferência a funcionalidades mais relevantes. Na nossa implementação, por que só tínhamos 2 variantes da *Upgradable DHT*, em que uma tem algumas funcionalidades a mais que outra, a função que usamos para tal simplesmente dava um ponto para cada funcionalidade em comum da duas listas de funcionalidade.

A proposta também sugere que todas as versões da DHT deveriam ter uma funcionalidade de base, que basicamente permite, dado uma chave/sequência-de-bytes, obter os nós cujo PID é o mais próximo da chave. Com obter os nós queremos dizer obter informações sobre este, desde o PID, o endereço e a lista de funcionalidades que este suporta. Um problema que não foi discutido nesta proposta mas que tivemos que resolver é: se usarmos a ideia do *Upgradable DHT* para ter versões do IPFS com o *Double-Hashing* e outras versões em que essa funcionalidade não está disponível como é que nós das diferentes versões conseguem determinar em quem eles devem publicar uma entrada na DHT.

Uma solução seria, ele só comunica com nós que possui a funcionalidade de publicar com o algoritmo original. O problema disto é que limita a interação entre nós com versões diferentes e não garante que o nó chegue ao nó mais próximo da chave. Para conduzir as nossas experiências fizemos com que a versão da DHT que suporta *Double-Hashing* também tenha a funcionalidade de responder a as pedidos do protocolo original. E quando estes forem publicar usando o *Double-Hashing*, façam uma pesquisa semelhante ao protocolo original, em que se localizam os nós mais próximo do CID pesquisado independentemente deste suportar *Double-Hashing*. Porém estes vão preferir comunicar com nós que suportam *Double Hashing*. Quando não é possível encontrar nós mais pertos do prefixo filtram os nós que encontraram para obter apenas aqueles que suportam *Double-Hashing*.

4 Implementação

O código do IPFS, foi escrito em *Go* e é composto por vários repositórios Git que implementam diferentes partes das funcionalidades do IPFS. Destacamos alguns deles:

kubo

É o repositório principal que agrega os restantes por meio de dependências.

go-libp2p

Uma biblioteca que abstrai a rede, fornece uma maneira eficiente de registrar protocolos e suas respectivas *handling functions*. Ainda faz multiplexação de conexões virtuais sobre uma ou mais conexões de rede física.

go-libp2p-kad-dht

A implementação da DHT do IPFS.

go-libp2p-kbucket

A implementação do K-buckets usados na DHT.

Para implementar a *Upgradable DHT*, migrar o código da DHT atual para a *Upgradable DHT*, adicionar os mecanismos de segurança discutidos na secção 2.3 (que foram migrados do protótipo da ChainSafe [9]) como funcionalidades a *Upgradable DHT* e adicionar logs para as experiências tivemos que mudar esses 4 repositórios. Utilizámos a versão do IPFS (kubo) 0.19.1 e escolhemos os restantes componentes com base nas dependências desta versão do kubo.

Como explicado na secção 3 a ideia do *Upgradable DHT* é ter varias DHTs com uma serie de funcionalidades. A proposta original não define concretamente o que seria uma funcionalidade portanto assumimos que as mesmas podem ser capturadas por RPCs (*Remote Procedure Calls*) da DHT. São estes que na nossa implementação definem as funcionalidades que um nó suporta. Por isso, o *PeerID*, assim como explicado no secção 3 vai ter uma lista de funcionalidades, que neste caso será uma lista de strings que correspondem aos IDs de cada RPC da DHT.

Para testar se a nossa implementação, corremos testes unitários (disponíveis no código original) e outros que nós adicionamos. No caso do *Double-Hashing* usamos os que estavam disponível no repositório da ChainSafe [9]. Adicionalmente, verificámos a correção das experiências através de várias verificações como o PID que se obteve da DHT corresponder ao nó que publicou o conteúdo, nenhum nó com a funcionalidade **NORMAL** conseguiu resolver um CID publicado por um nó **SECURE**, entre outras.

Todo o código usado nas experiências pode ser encontrado em <https://github.com/JamesHertz/ipfs-tests>.

5 Experiencias

5.1 Versões da DHT

A fim de poder comparar o desempenho da *Upgradable DHT* face à DHT original, criou-se duas versões da *Upgradable DHT*. Em que a única diferença é que uma contem +2 RPCs que publicam e consultam (resolvem CIDs) na DHT usando *double hashing*. O resto, em relação à DHT original, manteve-se inalterado, senso que esta versão da DHT anuncia as funcionalidades/RPCs que suporta e prefere ter nós nos seus *K*-buckets que tenham mais funcionalidades em comum consigo.

Das duas versões da *Upgradable DHT* que implementámos denominamos a versão que suporta o *double hashing* de **SECURE** e a outra de **NORMAL**. E algumas regras se aplicam, no que toca a publicar e consultar conteúdo publico na *Upgradable DHT*:

1. Os nós SECURE publicam utilizando os RPCs que suportam *double hashing* pelo que o conteúdo que estes publicam não pode ser consultado pelos nós NORMAL.
2. Os nós NORMAL publicam usando o algoritmo base, e como os SECURE suportam todas as funcionalidades que os NORMAL suportam conseguem consultar conteúdo publicado por um nó NORMAL.
3. Os nós SECURE guardam *Provider Records* para CIDs publicados por nós SECURE e por nós NORMAL.
4. Os nós NORMAL só guardam *Provider Records* guardados por nós do tipo NORMAL, por que estes não tem as funcionalidades que lhes permite suportar o algoritmo de pesquisa do *double hashing*.

Os comportamentos definidos acima para os nós NORMAL e os SECURE foram definidos a pensar no cenário que o IPFS iria passar caso este já tivessem implementado uma *Upgradable DHT* e pretendessem suportar a função de *double hashing*.

5.2 Configurações

Para se realizar as experiências foram criados 600 directorias de trabalho do IPFS, que mapeiam para um nó de IPFS, que guardam o par de chaves criptográficas assimétrica que cada nó juntamente com o seu PID. Também foram gerados 12.000 ficheiros de 10 MiB, calculou-se os CIDs e guardou-se num ficheiro. O parâmetro K dos K -buckets usado foi 10. E por ultimo atribui-se 20 CIDs para cada nó de IPFS, para publicação no IPFS durante a experiência, como explicado mais a frente. Em todas as experiências reportadas usamos esta configuração inicial. Isto permite garantir que a estrutura da *Overlay Network* seja parecida e os nós que vão guardar os pares da DHT se sejam semelhantes de uma experiência para outra.

Corremos a experiência em 8 máquinas com 16 a 32 *hardware cores* e mais de 100GB de RAM. Cada nó de IPFS executa num container docker, sendo que usámos docker-swarm para ter uma rede virtual que liga todos os containers que estavam em máquinas físicas diferentes. Também usou-se a ferramenta **Traffic Control** do Linux para introduzir latência artificial nas conexões entre todos os containers.

As experiências capturam 2 cenários e cada experiência foi repetida 3 vezes. Em ambos os cenários usamos 600 nós, dentre os quais 10 serviram como *bootstrap*, ou seja, os nós que os restantes utilizaram para formar a *Overlay Network*. No inicio da experiência todos os nós juntaram-se ao sistema através dos nós de *bootstraps*, e depois de 5 minutos todos os nós publicam 20 CIDs na DHT. Depois de 5 minutos, cada nó escolhe um CID random de entre todos os CIDs² (que foram pre-gerados) e consulta a DHT pelo PID do nó que a publicou durante um período de 20 minutos. Entre os dois cenários executados, a única diferença é que

² Excepto nós da variante NORMAL que só escolhem CIDs publicado por nós da mesma versão.

no primeiro os 600 nós executam a versão não alterada da DHT e no segundo 300 nós executam a versão NORMAL e 300 a versão SECURE da upgradeable DHT. Os *bootstraps* do segundo cenário foram 5 nós com a versão NORMAL e 5 com versão SECURE.

5.3 Resultados

Nesta seção reportamos os resultados das experiências conduzidas. Todos os resultados apresentados são médias das 3 repetições que se fez por cada uma dos dois cenários capturados nas experiências.

Começamos por reportar a taxa de sucesso das operações de procura na DHT, comparando a versão original da DHT (denominada de Baseline) como o desempenho que a variante SECURE da Upgradeable DHT, quando esta procura por conteúdo publicado por ambas as variantes da Upgradeable DHT, e o desempenho que os nós da variante NORMAL da Upgradeable DHT, quando estes procuram por conteúdo publicados por nós da sua variante da Upgradeable DHT. A Figura 1 mostra que a taxa de sucesso foi praticamente 100% para todos os CIDs que se tentou procurar pelo respetivo *Provider Record* (PR) na DHT. Isto mostra que, neste trabalho experimental, a Upgradeable DHT manteve a disponibilidade de todos os CIDs.

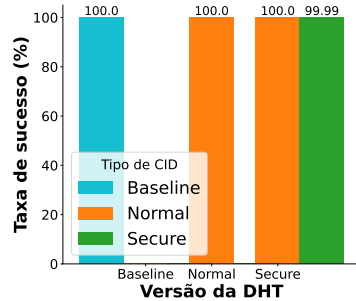


Figura 1: Taxa de sucesso nas operações de procura na DHT.

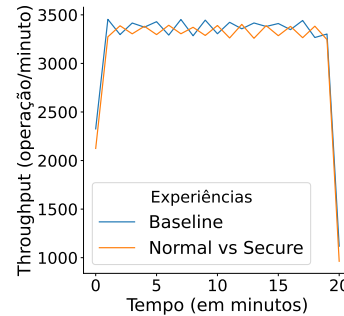


Figura 2: Throughput das DHTs.

De seguida reportamos o *throughput* das operações de pesquisa na DHT. Estas, como referido anteriormente na secção 5.2, são realizadas nos últimos 20 minutos de cada experiência. O que se pode observar é que o *throughput* da DHT quando se usa a *Upgradeable DHT* é apenas ligeiramente inferior ao que se obtém com a DHT atual. Logo, com base neste trabalho experimental, pode-se concluir que o custo adicional de operação da Upgradeable DHT em termos de desempenho é desprezável.

As Figuras 3 e 4 mostram, respetivamente, o tempo médio para concluir as operações de procura e de publicação de conteúdo na DHT em milissegundos. Em relação à procura, o que se pode observar é que os nós NORMAL quando pesquisam por CIDs publicados por nós NORMAL e os nós SECURE quando pesquisam por CIDs também publicados por nós NORMAL apresentam tempos de acesso similares aos apresentados pelo baseline.

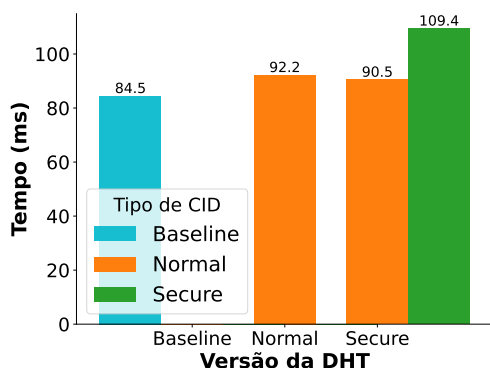


Figura 3: Tempo médio de procura.

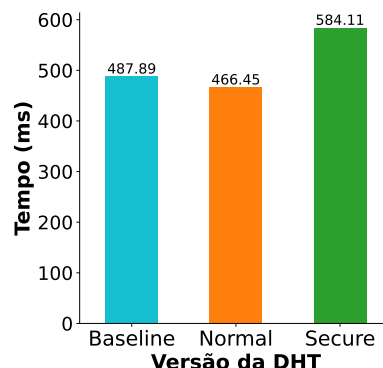


Figura 4: Tempo médio de publicação.

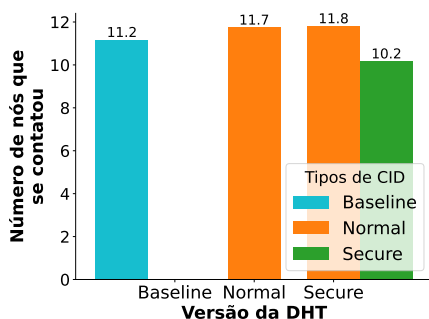


Figura 5: Número de contatos durante as pesquisas.

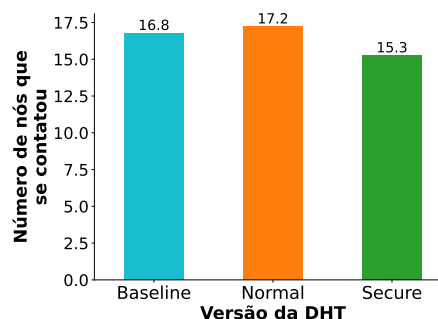


Figura 6: Número de contatos durante as publicações.

O tempo de procura dos nós SECURE por CIDs SECURE já apresentam um valor mais elevado em relação ao baseline. Este fenómeno é esperado, uma vez que o uso do mecanismo de *Double-Hashing* apresenta um custo criptográfico adicional. Uma justificação complementar é que apesar de que os nós SECURE preferirem ter outros nós SECURE nas suas tabelas de encaminhamento (*K-buckets*), estes ainda devem ter uma fracção de nós NORMAL e por isso tem que fazer um percurso médio maior até outros nós SECURE, o que pode levar a um ligeiro aumento da latência.

Em relação à publicação de conteúdos, nota-se que (naturalmente) apresentam um tempo de execução maior em relação às pesquisas, isto acontece porque a publicação envolve encontrar os K nós da DHT mais perto de uma chave ou um prefixo. Também nota-se que a publicação de CIDs feita por nós SECURE, que usam o mecanismo de *Double-Hashing*, demora mais tempo do que os restantes, pelas mesmas razões mencionadas acima. O leitor deve notar que o custo adicional do mecanismo de *Double-Hashing* nas pesquisas é de cerca de $30ms$ mas para a publicação sobe para cerca de $100ms$. Isto por que a publicação usando o mecanismo de *Double-Hashing* requer a execução de uma cifra simétrica (AES na nossa implementação) que é significativamente mais lenta do que o uso de funções de dispersão criptográficas usadas na procura.

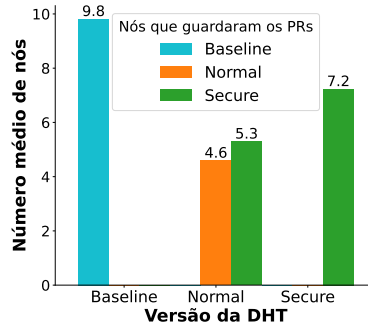


Figura 7: Número médio de nós que acada CID foi publicado.

Na Figura 5 é reportado a média do número de nós que se contactou ao consultar a DHT por um CID e até se obter o *Provider-Record* desse CID. Por sua vez, na Figura 6 observa-se a mesma coisa mas relativamente às operações de publicação de conteúdo na DHT. Pode-se observar que os nós SECURE quando pesquisam CIDs SECURE e publicam CIDs apresentam um número menor de contactos assim como o esperado. Isto acontece porque ao usar *Double-Hashing*, os CIDs são publicados e procurados usando o prefixo do *hash* do CID em vez do CID inteiro, logo é necessário contactar um menor número de nós na DHT para encontrar os nós mais próximos desse prefixo.

A Figura 7 mostra o número médio de nós a que o *Provider-Record* (PR) de um CID foi publicado, idealmente devem ser K nós distintos que guardaram a entrada $\langle CID, [PR] \rangle$ na DHT. Uma vez que a publicação é feita durante os primeiros minutos da experiência, pode acontecer que a DHT não tenha estabilizado e não se conheça nós o suficiente (como se vai observar na explicação da Figura 9) para publicar em K nós. Esperara-se que estes casos sejam infrequentes e que a média de nós publicados seja próxima de 10 (o valor do K usado). Isto é o que se verifica quando olhamos para número de nós nos resultados obtidos para a baseline e dos nós com funcionalidade NORMAL mas não é o caso para os nós com a funcionalidade SECURE. Isto acontece porque assim como explicado anteriormente na secção 4, o algoritmo usado pelos nós SECURE para encontrar os nós mais próximos do prefixo do hash de um CID é semelhante ao utilizado para encontrar os nós mais perto de um CID, só que, no final são filtrados os nós obtido de forma a considerar apenas os nós SECURE.

Consideramos agora algumas métricas relativas ao grafo que a *Overlay Network* da *Upgradable DHT* e a DHT *baseline* do IPFS apresentam. Começamos com o Coeficiente de agrupamento, que está ilustrado na Figura 8, e que mede a percentagem dos vizinhos em comum entre um nó e os seus vizinhos. Quanto menor for o valor melhor, pois quanto maior o coeficiente de agrupamento mais danos o grafo terá face a *churn* de nós. O que se pode observar é que este evolui ao mesmo ritmo em ambas das DHTs. No início apresenta um valor maior, isto por que o nós utilizam o conjunto de nós de *bootstraps* para se juntarem à rede e por isso vão ter mais vizinhos em comum, e com o tempo o valor vai diminuindo.

A figura 9 mostra o grau médio dos vértices do grafo, ou seja o número médio de vizinhos que cada nó tem. Novamente observa-se que este evolui de

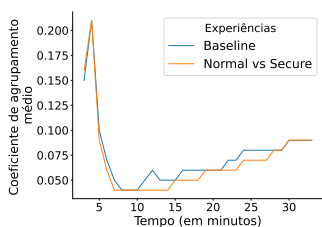


Figura 8: Coeficiente de agrupamento médio da *Overlay Network*.

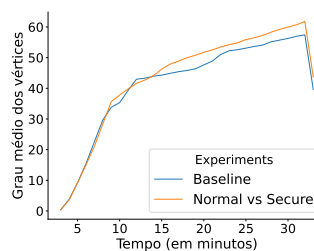


Figura 9: Grau médio de cada nó.

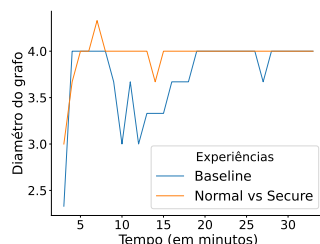


Figura 10: Evolução do diâmetro da *Overlay Network*.

forma idêntica em ambas as DHT. No início este é pequeno, e com o tempo vai aumentado devido a varias interações entre os nós da DHT. Apesar do valor do grau chegar aos 50 num grafo com 600 nós, este é o comportamento esperado no Kadmelia, sendo que o coeficiente de agrupamento continua baixo. É interessante observar que por volta dos 5 minutos nem todos os nós tem 10 vizinhos, sendo esteo momento quando se começa a publicar os CIDs. Isto acontece por que apesar de todos os nós tentarem ligar-se aos bootstrap, este são apenas 10 e a fim de minimizar a quantidade de conexões que os *bootstraps* tem que ter aberto, fizemos com que cada nó escolha um tempo aleatório nos 5 minutos iniciais para se ligar aos *bootstraps*.

Por fim, consideramos o diâmetro dos grafos denotados pelas relações de vizinhança ao nível da DHT. Estes são apresentados na Figura 10, que é o maior de todos os menores caminhos entre quaisquer 2 vértices. Esta métrica representa o caminho mais longo entre dois nós da *Overlay Network* e por isso quanto menor melhor. O que se pode observar é que que varia em torno de 4 e que o *Upgradable DHT* esteve mais estável durante a experiência toda, enquanto que o da baseline variou um pouco mas no final estabilizou em 4 também. Estes resultados mostram que a upgradeable DHT mantém as propriedades da rede lógica da solução original.

Para terminar reportamos o estado final dos *K-buckets* da *Upgradable DHT* distinguindo entre os buckets dos nós NORMAL e SECURE e o tipo de nós que se encontram nestes buckets também. Assim como podemos ver na Figura 11, em geral os nós SECURE têm mais nós SECURE do que NORMAL nos *K-buckets*, enquanto que os nós NORMAL são insensíveis ao tipo de nó, visto que os SECURE também possuem todas as funcionalidades que estes suportam.

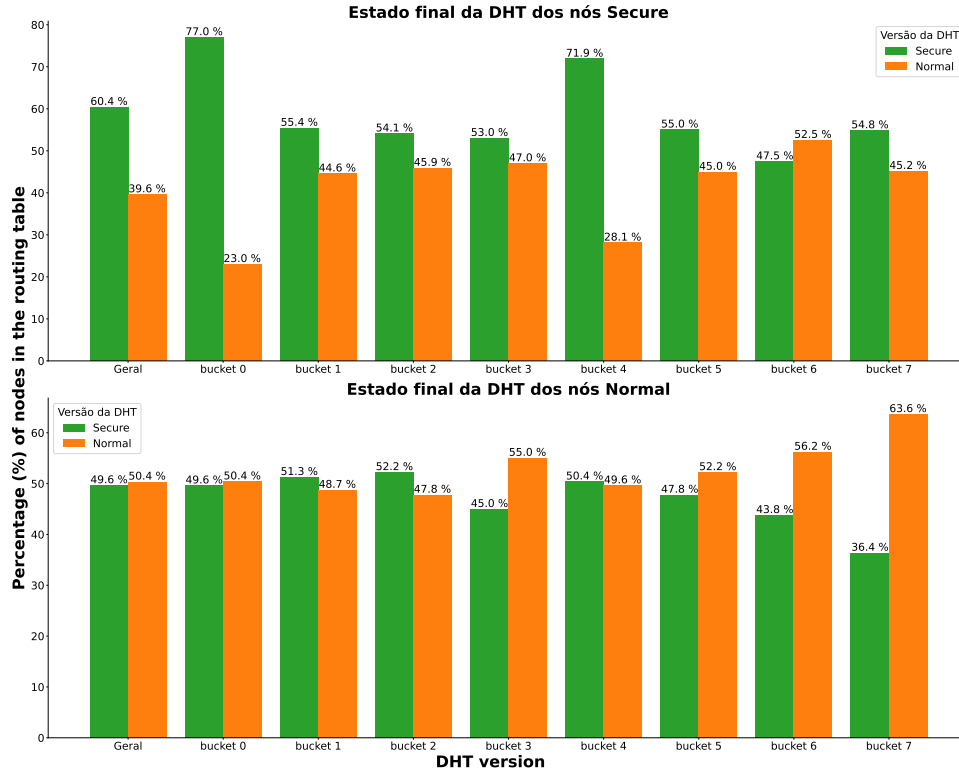


Figura 11: Estado final os K -buckets da *Upgradable DHT*

6 Conclusões

Neste artigo realizámos uma avaliação experimental de uma proposta da Protocol Labs para um desenho alternativo de DHT que permite a introdução de mudanças significativas e novas funcionalidade na DHT sem que a rede lógica formada por essa DHT quebre, permitindo assim maior flexibilidade na evolução de sistemas descentralizados baseados em DHTs.

Os resultados obtidos mostram que a *Upgradable DHT* apresenta alguns custos de desempenho, mas que estes são bastante baixos. Em nenhuma das métricas, desde a disponibilidade dos CIDS, os tempos de procura e de publicação e por fim algumas métricas relativas à topologia da *Overlay Network* que as DHTs formaram, foram encontradas diferenças significativas. Já em relação ao mecanismo de Double-Hashing observou-se que este de facto apresenta alguns custos adicionais mesuráveis, assim como esperado, mas também não são demasiado elevados e consideramos que face às garantias extras oferecidas, esse custo é aceitável.

Agradecimentos: O trabalho apresentado neste artigo foi suportado pela Fundação para a Ciência e Tecnologia através do laboratório NOVA LINCS (UIDP/04516/2020: DOI 10.54499/UIDP/04516/2020) e pelo projeto Horizon Europe TaRDIS financiado pela Comissão Europeia (Grant Agreement number 101093006).

Referências

1. Baumgart, I., Mies, S.: S/kademlia: A practicable approach towards secure key-based routing. In: ICPADS. pp. 1–8. IEEE Computer Society (2007), <http://dblp.uni-trier.de/db/conf/icpads/icpads2007.html#BaumgartM07>
2. Benet, J.: Ipfs - content addressed, versioned, p2p file system (2014)
3. Freedman, M., Freudenthal, E., Mazières, D.: Democratizing content publication with coral. In: First Symposium on Networked Systems Design and Implementation (NSDI 04). USENIX Association, San Francisco, CA (Mar 2004), <https://www.usenix.org/conference/nsdi-04/democratizing-content-publication-coral>
4. Guan, C., Ding, D., Guo, J.: Web3. 0: A review and research agenda. In: 2022 RIVF international conference on computing and communication technologies (RIVF). pp. 653–658. IEEE (2022)
5. labs, P.: Double hash dht. <https://github.com/guillaumemichel/specs/blob/double-hashing-dht/IPIP/0373-double-hash-dht.md>, (Accessed on 06/11/2023)
6. Maymounkov, P., Mazières, D.: Kademlia: A peer-to-peer information system based on the xor metric. In: Druschel, P., Kaashoek, F., Rowstron, A. (eds.) Peer-to-Peer Systems. pp. 53–65. Springer Berlin Heidelberg, Berlin, Heidelberg (2002)
7. Michel, G.: Composable dht design. <https://pl-strflt.notion.site/Composable-DHT-Design-704a1d9ccfdd40d8977f08b7258f6f3c>, (Accessed on 23/06/2024)
8. De la Rocha, A., Dias, D., Psaras, Y.: Accelerating content routing with bitswap: A multi-path file transfer protocol in ipfs and filecoin (2021)
9. Safe, C.: Double hashing dht prototype. <https://github.com/ChainSafe/go-libp2p-kad-dht>, (Accessed on 23/06/2024)
10. Trautwein, D., Raman, A., Tyson, G., Castro, I., Scott, W., Schubotz, M., Gipp, B., Psaras, Y.: Design and evaluation of ipfs: a storage layer for the decentralized web. In: Proceedings of the ACM SIGCOMM 2022 Conference. p. 739–752. SIGCOMM '22, Association for Computing Machinery, New York, NY, USA (2022). <https://doi.org/10.1145/3544216.3544232>, <https://doi.org/10.1145/3544216.3544232>